

鹿島建設(株)

正会員

庄子幹雄

正会員・技士木猪

1. はじめに

岩盤内には、されば、節理、断層などの地質的不連続面が潜在的には顕在的に存在する。斜面、空洞などの掘削工事で、それらが岩盤の力学的安定性にどのような影響を及ぼすかについて予測し、適切な対策を講ずることが重要となる。著者らは、前回、岩石コア、岩盤などの非線形変形特性を実測値にもとづき表現する方法を提案したが¹⁾、ここでは、それらをGoodman²⁾らの提案するジョイント要素について適用することを試みた。さらに、これらを有限要素法に適用し、地下空洞付近に不連続面が存在する例を解析したので報告する。

2. 不連続面の変形特性とその表現

Goodman³⁾らは、不連続面の変形特性を実験から次のように指摘した。(a)引張り応力には抵抗しない。(b)垂直応力(圧縮)を増加させるとFig. 2に示すような応力-変位関係が得られる。すなわち、不連続面に垂直な方向の変位は、応力の増加にしたがい、一定値 V_{mc} に収束していく。この場合の最大応力は不連続面を構成する岩の圧縮強度の範囲である。これらの関係を(1)式のような指數関数で表わした。

$$\frac{\sigma - \xi}{\xi} = A \left(\frac{\Delta V}{V_{mc} - \Delta V} \right)^t \quad (\Delta V < V_{mc}) \quad \text{---(1)}$$

さうに、(1)式から変位と力の関係を導き、これらの非線形の関係を収束計算によって求めめる方法を示している。ここで、 σ : 垂直応力、 ξ : ジョイントの初期荷重による応力(Seating Load)、 V_{mc} : 垂直方向の最大変位、 ΔV : σ での変位、 A 、 t : 指数。

著者らは、これらの変形特性を、文献1)で提案した一樣収束関数で表わすことを試みた。Fig. 1(a)の垂直方向では、最大変位 V_{mc} と ΔV との比 R_{JN} を(2)式で定義する。

$$R_{JN} = \Delta V / V_{mc} \quad (\Delta V \leq V_{mc}) \quad \text{---(2)}$$

その時の接線係数 K_{NJ} と係数 \bar{n} を用いて(3)式で表わす。

$$K_{NJ} = K_{OJ} R_{JN}^{\bar{n}} + (1 - R_{JN}^{\bar{n}}) K_{FJ} \quad \text{---(3)}$$

ここに、 \bar{n} : 曲線の性質を表わす係数、 K_{OJ} : 最大接線係数、 K_{FJ} : 初期接線係数。

せん断方向(水平)については、(2)式と同様にFig. 1(b)に示す、最大せん断応力 T_p と σ でのせん断応力 τ との比 R_{JS} を定義する。

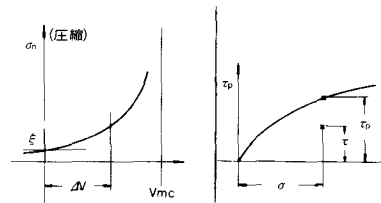
$$R_{JS} = |\tau| / T_p \quad (\tau \leq T_p) \quad \text{---(4)}$$

その時の接線係数 K_{SJ} も(3)式と同様に表わした。

$$K_{SJ} = K_{OJ} R_{JS}^{\bar{n}} + (1 - R_{JS}^{\bar{n}}) K_{FJ} \quad \text{---(5)}$$

ここに、 K_{OJ} : 初期接線係数、 K_{FJ} : T_p での接線係数。

これらの関係をFig. 2, 3に示す。 R_{JN}, R_{JS} は0~1の実数で表される。 \bar{n} が0の場合、 K_{NJ}, K_{SJ} が最大接線係数を持つ定数となる。



(a) 垂直応力-垂直変位 (b) 不連続面の剛撃特性
Fig. 1 不連続面の応力-変位関係

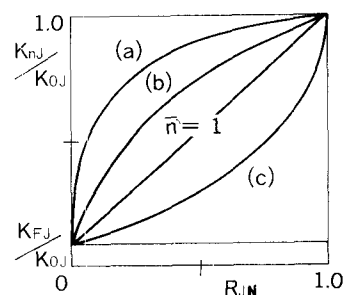


Fig. 2 $K_{NJ}/K_{OJ} - R_{JN}$ の関係

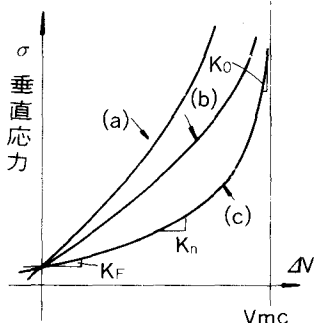


Fig. 3 変位曲線- \bar{n} の関係

なり、垂直変位については、 π が大きくなるにしたがつて Fig. 3 の (a) から (c) のような性質を示す。せん断変位についても同様の性質を示す。このようにすれば、確実な剛性的低下や増大をさけることができる。また、実験などで得られた曲線を比較的少ない変数で近似することができ、強度との関係も明白になる。

3. 計算例と結果の検討

解析はFig. 4に示す(a)～(d)について行つた。すなわち、(a)等方性、不連続面なし、(b)等方性、不連続面あり、(c),(d)は異方性で異方性角度をそれぞれ、 0° , 45° とし、異方性の比率は2:1とした。Fig. 5に有限要素モデルを示す。岩盤は6節点3角形および8節点曲面要素の組合せとし、不連続面は6節点のジョイント要素(Zienkiewicz, 1970)を用いた。これらの積分点(ガウス)はそれぞれ7, 25および5を用いた。岩盤および不連続面の非線形変形特性は、Fig. 4中に示すものを用いた。岩盤の強度は、正一郎の破壊包絡線(6)式を用いて。

$$T^2 = 50^2 (1 - \sigma/10) \quad (t/m^2) \dots \quad (6)$$

また、不連続面の摩擦強度（せん断）は(7)式を仮定して。

$$\tau = \sigma_n \tan 15^\circ \quad \dots \quad (7)$$

計算は空洞の掘削モデルで行った。すなわち、(1)自重によって領域全体に初期応力が発生する。この時の変形は0とする。(単位体積重量 γ は 2.5 t/m^3 を用いた。)(2)掘削によって、空洞の掘削面の応力を解放され変形が生じる、の二段階とした。Fig. 6は空洞の変形を示す。天盤の沈下量は、(b), (d), (c), (a)の順に大きくなっている。これは(b)が下方へ一様に変形しやすいからだと思われる。また、これらの変形形状は(a)に比較し、いずれも異なっており異方性および異方性角度の影響も大きい。不連続面のズレ量は特にせん断耐性と周辺の境界条件が支配的である。Fig. 7は空洞周辺の塑性領域を示す。これらは空洞天盤の不連続面に集中している。領域の大きさとは、(d), (c), (b), (a)の順となっている。これは、異方性の弱隣方向に塑性領域が進展しやすいうことを示している。特に(d)については、空洞下盤の隅角部にも塑性領域が発生している。また、これらは不連続面を境に異なった分布を示している。

したがって、このような場所での施工法の選定、補強などについては、これらの状態を良く把握し十分注意して決定する必要がある。

参考文献

- 1) 庄子, 1924木, 稿本: 花の非線形ひずみ特性とその一表現, 土木学会, 第32回年次学術講演会講演概要集, 3-192(1977), pp. 350~351
 - 2) R.E. Goodman and R.L. Taylor: A model for the mechanics of jointed rock, Jour. Soil Mech. & Found. Div., Proc. ASCE, Vol. 94 No. SM3, 1968, pp. 637~659
 - 3) R.E. Goodman: Methods of Geological Engineering in Discontinuous rocks, West Publishing, 1976

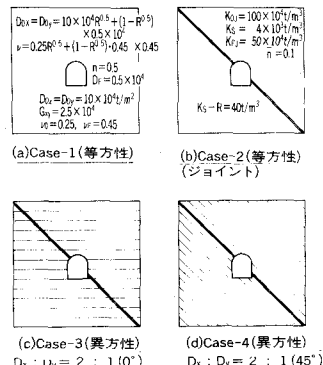


Fig. 4 解析条件

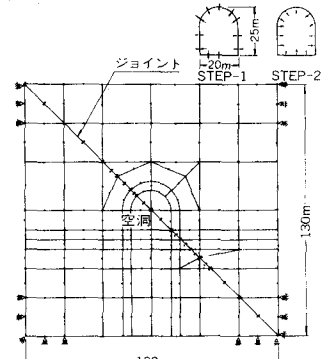


Fig. 5 有限要素モデル

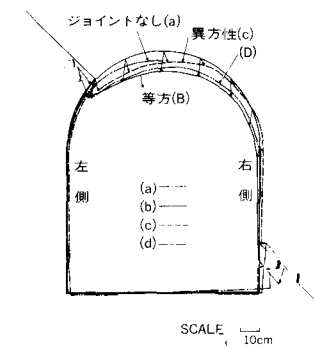


Fig. 6 空洞の変形

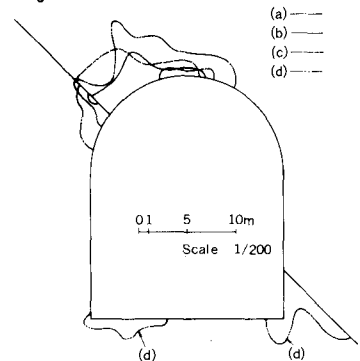


Fig. 7 空洞周辺の塑性領域